

ОБЪЕДИНЕННЫЙ  
ИНСТИТУТ  
ЯДЕРНЫХ  
ИССЛЕДОВАНИЙ  
ДУБНА

4810 / 2-81

28/9-81

P17-81-445

В.Л.Аксенов, А.Ю.Дидык, В.Ю.Юшанхай

ДИНАМИКА ОДНОМЕРНОЙ МОДЕЛИ  
ФАЗОВОГО ПЕРЕХОДА СМЕЩЕНИЯ

Направлено в журнал "Физика низких температур"

1981

## 1. ВВЕДЕНИЕ

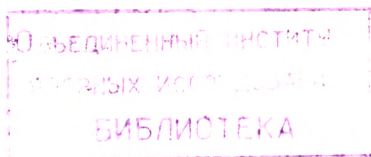
В последнее время наблюдался значительный интерес к системам, испытывающим структурные фазовые переходы, динамическое поведение которых не описывается классической теорией мягкой фононной моды /см. обзоры <sup>1,2/</sup> и цитируемую там литературу/. Было показано, что в системах типа смещения в критической области возможно появление кластеров, предшествующих возникновению несимметричной /низкотемпературной/ фазы. В результате, подобно системам типа "порядок-беспорядок", идеальные /бездефектные/ системы типа смещения характеризуются двумя видами движений: "быстрыми" - колебаниями частиц относительно квазиравновесных положений внутри кластеров и "медленными" - движениями стенок кластеров. Критическое замедление обеспечивается релаксационной динамикой последних, приводящей к центральному пику в спектральной функции. Возможное поведение мягкой моды следует из расчета методом молекулярной динамики, проведенного в работе <sup>3/</sup> для двухмерной модели. При уменьшении температуры  $\theta$  в парафазе частота мягкой моды уменьшается до некоторого минимального значения при  $\theta = \theta_0 (> \theta_c)$ , а затем начинает возрастать и остается конечной при  $\theta = \theta_c$ . Однако имеющиеся в литературе <sup>1,2/</sup> обсуждения температурного поведения мягкой моды и центрального пика при наличии кластеров носят качественный характер или основаны на результатах расчетов методом молекулярной динамики. Детального количественного исследования проведено не было.

В настоящей работе эта задача рассмотрена для одномерной модели, когда нелинейные эффекты допускают аналитическое описание.

Одномерная модель является специфической в том смысле, что в ней нет упорядоченной фазы. В то же время  $\theta = 0$  можно рассматривать как критическую температуру, а область  $\theta > 0$  - как область парафазы.

## 2. ФОНОНЫ В НЕОДНОРОДНОЙ СРЕДЕ

Простейшей моделью структурного фазового перехода является система связанных ангармонических осцилляторов /решеточная модель "φ<sup>4</sup>" / с гамильтонианом <sup>4/</sup>:



$$H = \sum_i \left[ \frac{m}{2} \dot{\phi}_i^2 - \frac{A}{2} \phi_i^2 + \frac{B}{4} \phi_i^4 \right] + \frac{1}{4} \sum_{ij} C_{ij} (\phi_i - \phi_j)^2, \quad /1/$$

где  $\phi_i$  - смещение  $i$ -й частицы с массой  $m$  относительно положения равновесия в симметричной /высокотемпературной/ фазе;  $A, B > 0$  - параметры одночастичного потенциала с двумя минимумами с глубиной  $V = A^2/4B$  и расстоянием между минимумами  $|\phi_i| = \sqrt{A/B}$ . Модель /1/ описывает фазовые переходы типа смещения, когда энергия связи между частицами  $\phi_0^2 C_0 > V$  или  $C_0 = \sum_j C_{ij} > A$  /.

Имея в виду, что при низких температурах  $\theta \geq 0$  в системе возникают кластеры разной поляризации /2-4/, координату частицы  $\phi_i(t)$  представим в виде квазиравновесных положений в кластере  $s_i$  и малых /относительно  $s_i$  / смещений  $u_i$ :

$$\phi_i(t) = s_i(t) + u_i(t). \quad /2/$$

Смещения  $s_i(t)$  приводят к возбуждениям типа солитонных волн /доменная стенка или кинк/, а смещения  $u_i(t)$  - к возбуждениям типа фононов /4,5/. Гамильтониан /1/ с учетом /2/ аппроксимируем суммой гамильтонианов для конфигурационной и фононной частей /6/:

$$H_0 = H_K + H_\Phi, \quad /3/$$

$$H_K = \sum_i \left[ \frac{p_i^2}{2m} - a_i \frac{A}{2} s_i^2 + \frac{B}{4} s_i^4 \right] + \frac{1}{4} \sum_{ij} C_{ij} (s_i - s_j)^2, \quad /3a/$$

$$H_\Phi = \sum_i \left[ -\frac{\hbar^2}{2m} \frac{\partial^2}{\partial u_i^2} - \Delta_i \frac{A}{2} u_i^2 \right] + \frac{1}{4} \sum_{ij} C_{ij} (u_i - u_j)^2. \quad /3б/$$

Эта аппроксимация основывается на вариационном принципе Боголюбова для свободной энергии  $F: F \leq F_1 = F_0 + \langle H - H_0 \rangle$ , где  $F_0$  - свободная энергия с гамильтонианом  $H_0$ . Вариационные параметры  $a_i$  и  $\Delta_i$ , учитывающие взаимное влияние двух подсистем /кинк-фононное взаимодействие/, определяются из условия стационарности свободной энергии и имеют вид

$$a_i = 1 - 3 \frac{B}{A} \langle u_i^2 \rangle, \quad \Delta_i = 3 \frac{B}{A} \langle s_i^2 \rangle - a_i. \quad /4/$$

Статистические средние  $\langle \dots \rangle$  вычисляются с гамильтонианом  $H_0$ . Заметим, что переменные  $s_i(t)$  и  $u_i(t)$  имеют разный характерный масштаб времен, что позволяет провести разделение /3/.

Гамильтониан /3б/ содержит случайный одноузельный потенциал  $\Delta_i$ , обусловленный неупорядоченностью системы в результате раз-

биения ее на кластеры. Чтобы ввести фононы, необходимо предварительно выполнить структурное усреднение, то есть усреднение по распределению стенок кластеров. Ограничимся простейшим в теории неупорядоченных систем приближением "среднего" кристалла, в котором случайный одночастичный потенциал заменяется на средний потенциал возмущения в эффективной трансляционно-инвариантной решетке:

$$\bar{a} = 1 - 3 \frac{B}{A} \langle u^2 \rangle, \quad \bar{\Delta} = 3 \frac{B}{A} \langle s_i^2 \rangle - \bar{a}. \quad /5/$$

В /5/ черта сверху означает усреднение по конфигурациям. В этом случае гамильтониан /3б/ описывает колебания в эффективной /"средней"/ решетке в псевдогармоническом приближении, в котором взаимодействие между фононами учитывается в самосогласованном фононном поле /7/, а частота колебаний и корреляционные функции "малых" смещений описываются следующими уравнениями:

$$\hbar^2 \bar{\omega}_q^2 = \frac{A}{m} (\bar{\Delta} + f_0 - f_q), \quad f_q = \frac{C_q}{A} = \frac{1}{AN} \sum_{i \neq j} C_{ij} e^{iq(R_i - R_j)}, \quad /6/$$

$$\langle u^2 \rangle = \frac{1}{mN} \sum_q \frac{1}{2\omega_q} \text{cth} \frac{\bar{\omega}_q}{2\theta}. \quad /7/$$

Итак, мы получили самосогласованную систему уравнений /5/-/7/ для описания температурного поведения фононов /мягкой моды/ в решетке при наличии кластеров с различной поляризацией квазиравновесных положений частиц. Для того чтобы замкнуть эту систему уравнений, необходимо вычислить средние квадратичные значения квазиравновесных положений  $\langle s_i^2 \rangle$  по распределению стенок кластеров.

### 3. КОРРЕЛЯЦИОННЫЕ ФУНКЦИИ КВАЗИСОЛИТОНОВ

Рассмотрим гамильтониан /3а/. При сильной связи ( $C_0/A \gg 1$ ) возможно лишь плавное изменение координаты  $s_i$ , что позволяет перейти к континуальному пределу /4/:  $s_i = s(x_i)$ ,  $x_i = il \equiv x$ , где  $l$  - постоянная решетки. Гамильтониан /3а/ в континуальном пределе отличается от обычно используемого  $\phi^4$ -гамильтониана наличием температурнозависящего множителя  $\bar{a}$ , учитывающего влияние фононных флуктуаций на медленную подсистему. Уравнения Лагранжа-Эйлера для гамильтониана /3а/ в непрерывном пределе имеют солитоноподобное частное решение /4,5/. В пределе малой плотности кластеров ( $|x_1 - x_2| \gg \delta$  - ширины стенки) приближенное частое решение при наличии в системе  $N_k$  стенок имеет вид

$$s_{N_k}(x, t; \{x_{0i}\}, \{v_i\}) = \sqrt{\frac{A}{B}} \frac{N_k}{\prod_{i=1}^{N_k} \text{th} \frac{x - x_{0i} \pm v_i t}{\sqrt{2\xi} / a^{1/2}}}, \quad /8/$$

где  $\xi = \sqrt{\frac{\pi}{A} (c_0^2 - v^2)}$  - ширина стенки без учета фоновой перенормировки;  $c_0^2 = C_0 \ell^2 / 2\pi$  - скорость звука, а также предельная скорость квазисолитона в системе. Подставляя выражение /8/ при  $N_k = 1$  в /3а/ и проводя интегрирование в пределе  $v \ll c_0$ , получаем для энергии и массы квазисолитона следующие выражения:

$$E = E_0 + \frac{\pi^* v^2}{2}; \quad E_0 = \frac{A^2}{B} \frac{\sqrt{2} \xi_0}{\ell} (a^{-1/2} - a^{-3/2}); \quad \pi^* = \frac{4}{3} \frac{\pi \sqrt{2} A \bar{a}^{3/2}}{\ell B \xi_0}, \quad /9/$$

где  $\xi_0 = c_0 \sqrt{\pi/A}$ .

Учет фоновых флуктуаций приводит к уменьшению высоты стенки кластера и увеличению ее ширины  $\delta_0^2 = 2\xi_0^2/\bar{a} > 2\xi_0^2$ , а также к уменьшению ее энергии, что качественно согласуется с результатами работы /8/. В отличие от работы /8/, в нашем подходе учтены фоновые флуктуации также при  $\theta \neq 0$  с помощью уравнения /7/ /см. также /9/ /.

Для того чтобы вычислить корреляционные функции квазисолитонов, воспользуемся феноменологической статистической механикой "идеального" газа квазисолитонов /4,5/, которая может быть применена к модели /1/ в области температур  $\theta \ll E_0$ . Статистическую сумму газа квазисолитонов в большом каноническом ансамбле представим в виде /4,5,10/

$$Z_k = \sum_{N_k} e^{\frac{\mu N_k}{\theta}} L_{N_k}, \quad L_{N_k} = \frac{1}{N_k!} \left[ \iint \frac{dv dx_0}{\bar{B}} e^{-\frac{2E_0 + m^* v^2}{2\theta}} \right]^{N_k}, \quad /10/$$

где  $\bar{B}$  - нормировочный множитель в фазовом пространстве значений  $x_0$  и  $v$ , или после интегрирования:

$$Z_k = \exp \left\{ L \left( \frac{2\pi\theta}{m^* \bar{B}^2} \right)^{1/2} e^{\frac{\mu - E_0}{\theta}} \right\}. \quad /11/$$

Используя выражение /11/, получаем плотность стенок кластеров в виде

$$\bar{n}_k = \frac{\bar{N}_k}{L} = \frac{\theta}{L} \frac{\partial}{\partial \mu} \ln Z_k = \left( \frac{2\pi\theta}{m^* \bar{B}^2} \right) e^{-E_0/\theta}. \quad /12/$$

Это выражение отличается от соответствующего в работе /4/ предэкспоненциальным множителем и совпадает с полученным в работе /5/ при  $\bar{B} = 2h/m^*$  /h - постоянная Планка/.

Среднее значение квазиравновесного положения  $\langle s(x, 0) \rangle$  в точке  $x$  в произвольный фиксированный момент времени  $t$  получим, усредняя решение /8/ по положениям стенок кластеров  $x_{0i}$  и скоростям  $v_i$  с распределением /10/. Начальное условие зададим таким образом, что при  $\theta = 0$  образец поляризован так, что существует один домен с  $s(x, 0) = \sqrt{A\bar{a}}/B$ . При температурах, отличных от нуля, в системе начинают появляться кластеры, тогда

$$\langle s(x, 0) \rangle = Z_k^{-1} \left\{ \sqrt{\frac{A}{B}} \bar{a} + \iint \frac{dv dx_0}{\bar{B}} s_1(x, 0; x_0, v) e^{-\frac{2E_0 + m^* v^2}{2\theta}} + \frac{1}{2!} \iint \frac{dv_1 dx_{01}}{\bar{B}} \iint \frac{dv_2 dx_{02}}{\bar{B}} s_2(x, 0; x_{01}, x_{02}, v_1, v_2) e^{-\frac{4E_0 + m^*(v_1^2 + v_2^2)}{2\theta}} + \dots \right\}. \quad /13/$$

В термодинамическом пределе ( $L \rightarrow \infty$ ) вклады в /13/ состояний с одной, двумя и большим числом стенок в среднем равны нулю, так как

$$\int_{-L/2}^{L/2} dx_0 \text{th} \frac{x - x_0}{\delta} = \delta \ln \frac{\text{ch}(\frac{L}{2} + x)/\delta}{\text{ch}(\frac{L}{2} - x)/\delta} \xrightarrow{L \rightarrow \infty} 0.$$

Поэтому

$$\sqrt{\frac{B}{A}} \langle s(x, 0) \rangle = Z_k^{-1} \sqrt{\bar{a}} = \begin{cases} \sqrt{\bar{a}} & \text{при } \theta = 0, \\ 0 & \text{при } \theta > 0, L \rightarrow \infty. \end{cases} \quad /14/$$

Таким образом, среднее значение /термодинамическое и конфигурационное/ положения равновесия частицы в модели /3/ равно нулю при любой отличной от нуля температуре.

Среднеквадратичные значения квазиравновесных положений вычисляются таким же образом: в выражения типа /13/ нужно подставлять квадраты решений /8/. Используя то, что для любого конечного  $x$

$$\int_{-L/2}^{L/2} dx_0 \text{th}^2 \left( \frac{x - x_0}{\delta} \right) = \int_{-L/2}^{L/2} dx_0 \left[ 1 - \frac{1}{\text{ch}^2 \frac{x - x_0}{\delta}} \right] = L - 2\delta + O(e^{-L/\delta}),$$

получаем

$$\langle s^2(x, 0) \rangle = \frac{A}{B} \bar{a} \exp(-2\bar{n}_k \delta_0). \quad /15/$$

Использованная процедура конфигурационного усреднения позволяет также получить динамическую корреляционную функцию. При этом появляются интегралы вида

$$\frac{L/2}{-L/2} \int dx_0 \operatorname{th} \frac{x_0 - x + vt}{\delta} \operatorname{th} \frac{x_0}{\delta} = L - 2(x - vt) \operatorname{cth} \frac{x - vt}{\delta},$$

и в результате

$$\langle s(x, t) s(0, 0) \rangle = \frac{A}{B} \bar{a} \exp \left\{ -2e^{-\frac{E_0}{\theta}} \int_{-\infty}^{\infty} \frac{dv}{B} (x - vt) \operatorname{cth} \frac{x - vt}{\delta} e^{-\frac{m^* v^2}{2\theta}} \right\}. \quad /16/$$

Заметим, что это выражение справедливо при следующих ограничениях:  $x < 1/\bar{n}_k$ ;  $t < 1/\bar{v}\bar{n}_k$ ;  $\bar{v}$  - средняя скорость кинка.

Статическая корреляционная функция, которая получается из /16/ при  $t = 0$ , после интегрирования по скоростям имеет вид

$$\langle s(x, 0) s(0, 0) \rangle = \frac{A}{B} \bar{a} \exp \left\{ -2\bar{n}_k x \operatorname{cth} \frac{x}{\delta_0} \right\}. \quad /17/$$

Это выражение при  $x \rightarrow 0$  совпадает с /15/, а при  $x \gg \delta_0$  принимает вид

$$\langle s(x, 0) s(0, 0) \rangle = \frac{A}{B} \bar{a} \exp \left\{ -x/\zeta_c \right\}, \quad /18/$$

где  $\zeta_c = 1/2\bar{n}_k(\theta)$  - корреляционная длина. При  $\theta \rightarrow \theta_c (=0)$   $\zeta_c \rightarrow \infty$ . Выражение вида /18/ с множителем  $\bar{a} = 1$  было получено в работе /4/ на основе точных вычислений методом матрицы перехода.

#### 4. ТЕМПЕРАТУРНОЕ ПОВЕДЕНИЕ СПЕКТРА ВОЗБУЖДЕНИЙ

В экспериментах по рассеянию нейтронов или света измеряется функция рассеяния, которая описывает динамические свойства системы и выражается через корреляционную функцию:

$$S(q, \omega) = \frac{1}{(2\pi)^2} \int_{-\infty}^{\infty} \int dx dt e^{i(qx - \omega t)} \langle \phi(x, t) \phi(0, 0) \rangle. \quad /19/$$

В приближении /3/ функция рассеяния /19/ состоит из трех разделенных пиков - двух  $\delta$ -образных боковых при энергиях фононов /6/ и центрального при  $\omega = 0$ , обусловленного динамикой стенок кластеров.

В дальнейшем будем рассматривать фазовый переход ферродисторского типа, когда максимум фурье-образа потенциала взаимодействия  $C_q$  достигается при  $q = 0$ . Введем безразмерные переменные:

$$\Omega_q^2 = \frac{\bar{\omega}_q^2}{A/m}; \quad T = \frac{\theta}{A^2/B}; \quad \epsilon_0 = \frac{E_0}{A^2/B}; \quad M^* = \frac{m^* c_0^2}{A^2/B}; \quad f_0 = \frac{C_0}{A}; \quad \lambda = \frac{h\sqrt{A/m}}{A^2/B}. \quad /20/$$

В переменных /20/ свойства модели определяются двумя параметрами: относительной силой связи между частицами  $f_0$  и  $\lambda$ -параметром квантовости. При переходах типа смещения  $f_0 > 1$ . Параметр  $\lambda$  играет такую же роль, как и температура. Если  $\lambda > \lambda_c$ , то есть если энергия нулевых колебаний больше глубины потенциального минимума, то смещенного состояния не возникает даже при нулевой температуре. Верхней оценкой для  $\lambda_c$  является  $\lambda_c = 1$ .

Использованная в данной работе статистическая механика газа квазисолитонов может быть применена при температурах  $T \ll \epsilon_0$ . Для модели /1/ имеется еще одна характерная температура. Как показывает численное моделирование /см. обзор /11/ /, характер взаимодействия квазисолитонов в модели /1/ зависит от их скорости, а следовательно, от температуры /11/: при  $\theta < \theta_{1, m^* v_{кр}^2} / v_{кр} = 0,2 c_0$  / возникают связанные состояния квазисолитонов, которые могут давать основной вклад в статистику. Следовательно, статистическая механика газа квазисолитонов справедлива при  $\theta > \theta_1$ . Оценку для температуры  $T_1 = \theta_1 / (A^2/B)$ , используя /9/, получаем в виде  $T_1 \sim 0,05 \sqrt{T_0}$ . Таким образом, область применимости используемых в данной работе приближений ограничена следующими значениями параметров модели и температуры:

$$f_0 > 1; \quad \lambda_0 \ll 1; \quad 0,05 \sqrt{f_0} < T \ll \epsilon_0. \quad /21/$$

Заметим, что вариационный характер подхода сохраняет физический смысл результатов /в интерполяционном смысле/ и на границе данных оценок.

#### 4.1. Мягкая фононная мода

Температурное поведение энергии фононов определяется самосогласованной системой уравнений /5/-/7/, /15/. На рис. 1 представлены результаты решения этой системы уравнений для частоты мягкой моды при  $q = 0$  /щель в спектре мягких фононов/ при значениях параметров  $f_0 = 10$ ,  $\lambda = 0,1$ . На рис. 1 показана также зависимость энергии и массы квазисолитона от температуры, крестиками обозначены точки, в которых нарушается условие самосогласования /7/. При выполнении расчетов нормировочный множитель в полагается равным  $c_0 \delta_0$ . Суммирование по  $q$  в /7/ проводилось в пределах  $-\pi/l \leq q \leq \pi/l$ , где  $l$  - постоянная решетки. Разрывное поведение физических величин означает фазовый переход первого рода и является следствием псевдогармонического приближения для фононов. Как видно из рис. 1, при  $T < T_0 (=0,7)$  мягкая мода ведет себя как в классической теории. При  $T = T_0$  "высокотемпературные" фононы становятся неустойчивыми, что связано с появлением кластеров /квазисолитонов/. Фононы при наличии кластеров ведут себя аналогично "низкотемпературным" фононам /фононам в феррофазе/. Отметим, что при  $T \rightarrow T_c / T_c = 0$  в нашем случае/ час-

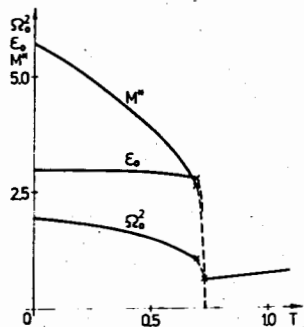


Рис.1. Зависимость частоты мягкой моды, энергии и массы квазисолитонов от температуры при значениях параметров модели  $f_0 = 10$ ,  $\lambda = 0,1$  /в безразмерных переменных /20//.

тота мягкой моды не убывает, как в классической теории, а возрастает. Этот результат подтверждает качественную картину /2/ и согласуется с результатами численного моделирования для двумерной модели /3/.

Зависимость энергии квазисолитонов от температуры показывает, что область  $T < T_0$  лежит в пределах /21/ применимости используемых в данной работе приближений. В области  $T < T_1$  / $\approx 0,16$ /, вообще говоря, необходимо учитывать связанные состояния квазисолитонов. Можно ожидать, что на поведении фононов детали динамики стенок кластеров сказываются несущественно, хотя этот вопрос требует более детального рассмотрения.

#### 4.2 Центральный пик

Функция рассеяния на квазисолитонах с учетом выражения для динамической корреляционной функции /16/ имеет вид

$$S_k(q, \omega) = \frac{1}{(2\pi)^2} \iint_{-\infty}^{\infty} dx dt e^{i(qx - \omega t)} \frac{A}{B} \bar{a} \times \\ \times \exp \left\{ -2e^{-E_0/\theta} \int_{-\infty}^{\infty} \frac{dv}{B} e^{-\frac{m^* v^2}{2\theta}} (x - vt) \operatorname{cth} \frac{x - vt}{\sqrt{2} \xi / \bar{a}^{1/2}} \right\}. \quad /22/$$

Возможны два предельных режима поведения газа квазисолитонов /12/: бесстолкновительный и диффузионный. Диффузионный режим соответствует асимптотике  $t \rightarrow \infty$  в /22/. Полагая, что в пределах корреляционной длины  $\xi_c$  корреляционная функция не зависит от координаты /4/:  $\langle s(x, t) s(0, 0) \rangle \approx \langle s(0, t) s(0, 0) \rangle$ , и проводя интегрирование в /22/, получаем

$$S_k(q, \omega) \approx \frac{A}{B} \frac{\sigma_\lambda(q)}{\pi} \frac{\gamma}{\omega^2 + \gamma^2}, \quad \gamma = \frac{4\theta}{m^* \bar{B}} e^{-E_0/\theta}, \quad /23/$$

где  $\sigma_\lambda(q)$  - приближенное пространственное преобразование в пределах корреляционной длины. Таким образом, в случае простой диффузии стенок кластеров в сечении рассеяния должен наблюдаться центральный пик лоренцевской формы с полушириной/ши-

риной на половине высоты /  $\omega_0 \sim \gamma$  ( $\omega_0 \sim \bar{v}/\zeta$ , где  $\bar{v}$  - средняя скорость стенок;  $\zeta$  - среднее расстояние между ними/. При уменьшении температуры высота центрального пика увеличивается, а полуширина уменьшается. В пределе  $\theta \rightarrow 0$   $S_k(q, \omega)$  /23/ переходит в  $\delta$ -функцию. Выражение /23/ с точностью до обозначений и нормировки  $\bar{a}$  совпадает с соответствующим в работе /4/. Недостатком формулы /23/ является то, что она не отражает явной зависимости от волнового вектора  $q$  /импульса передачи при рассеянии/. Зависимость от  $q$  имеет значение при изучении критического рассеяния при  $T \rightarrow T_c$ , которое в силу возрастания корреляционной длины /18/ происходит при  $q = 0$ , то есть является квазиупругим.

Бесстолкновительный режим - свободное движение квазисолитонов соответствует линейному по плотности ( $\bar{n}_k \ll 1/\delta$ ) приближению в /22/. Используя замену переменных  $y = (x - vt) / \delta$ , получаем в этом случае

$$S_k(q, \omega) \approx \bar{a} \delta(q) \delta(\omega) + \bar{n}_k \frac{A}{B} \frac{\xi_0}{2} \left( \frac{\pi m^*}{2\theta} \right)^{1/2} \frac{1}{|q|} e^{-\frac{m^* (\omega)^2}{2\theta q}} \frac{1}{\operatorname{sh}^2 \frac{\pi q \xi_0}{2 \bar{a}^{1/2}}}. \quad /24/$$

Первое слагаемое в /24/ отвечает чисто упругому рассеянию и при  $T \rightarrow T_c$  соответствует критическому рассеянию на одном кластере макроскопических размеров ( $\xi_c \rightarrow \infty$ ). Второе слагаемое, имеющее гауссовскую форму, при  $q \rightarrow 0$  описывает квазиупругое рассеяние на свободно движущихся стенках кластеров. При  $T \rightarrow 0$  интенсивность этого рассеяния уменьшается до нуля. Мерой интенсивности рассеяния служит структурный фактор, который для квазиупругого рассеяния в /24/ получаем в виде

$$S_k(q) = \int_{-\infty}^{\infty} d\omega S_k(q, \omega) = \bar{n}_k \bar{a} \frac{\pi}{2 \operatorname{sh}^2 \frac{\pi q \xi_0}{2 \bar{a}^{1/2}}}. \quad /25/$$

Как видно из этого выражения, максимум рассеяния достигается при  $q \rightarrow 0$ .

На рис. 2 и 3 представлены результаты вычисления функции  $S_k(q, \omega)$  в зависимости от температуры, полученные численным интегрированием выражения /22/ при значениях параметров модели  $f_0 = 10$ ,  $\lambda_0 = 0,1$ . При  $q \neq 0$  / $q/l = 0,016$ , рис. 2/ интенсивность центрального пика при уменьшении  $T$  от  $T_0$  сначала увеличивается, а затем начинает уменьшаться при  $T \rightarrow 0$ . Полуширина уменьшается при уменьшении температуры. При  $q = 0$  центральный пик имеет такую же форму, как на рис. 2, но интенсивность его при  $T \rightarrow T_c$  / $= 0$ / возрастает, а полуширина уменьшается. На рис. 3 показана температурная зависимость интенсивности и полуширины в этом

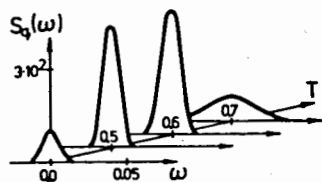


Рис. 2. Температурное поведение центрального пика при  $q = 0,016 / f_0 = 10$ ,  $\lambda = 0,1 /$ .

случае. Сделанные в данном разделе приближения не позволяют оценить вклада диффузии квазисолитонов в функцию рассеяния /ср.  $c^{12}$ /, что, однако, не меняет главного резуль-

тата. Из проведенного рассмотрения следует, что в идеальной /бездефектной/ решетке в парафазе вклад движущихся стенок кластеров в центральный пик уменьшается при  $T \rightarrow T_c = 0 /$ . При  $T \rightarrow 0$  интенсивность пика при  $q \neq 0$  будет стремиться к нулю и при учете связанных состояний квазисолитонов, наиболее устойчивыми из которых являются бионы /11/. Исходя из характера поведения бионов, известного из численного моделирования /11/, можно предположить, что при  $T < T_1 \approx 0,16$  для выбранных параметров модели/ структура центрального пика изменится: он распадается на два пика с максимумами при  $\omega$ , близкими к  $\omega = 0$  и соответствующими энергии бионов. С уменьшением температуры эти пики будут двигаться в сторону  $\omega \rightarrow \sqrt{2a}$  и при  $T \rightarrow 0$  сольются с фоновыми. Похожая картина наблюдалась при численном моделировании в одномерной модели /1/, проведенном в работе /13/, где соответствующие возбуждения были названы кластерными волнами.

В заключение коротко обсудим вопрос, в какой степени результаты, полученные для одномерной модели, могут быть применены к реальным системам. В случае сильноанизотропных квазиодномерных систем обобщение полученных результатов возможно в духе работы /14/. Для систем с размерностью  $d > 1$  распространение кла-

стерной феноменологии затруднено, поскольку в этом случае решения соответствующих уравнений Лагранжа-Эйлера типа кластерных стенок являются неустойчивыми /11/. Однако даже такие фор-

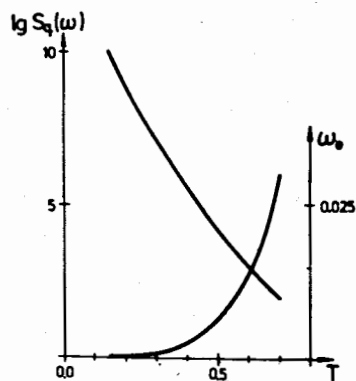


Рис. 3. Зависимость от температуры интенсивности и полуширины  $\omega_0$  центрального пика при  $q = 0 / f_0 = 10$ ,  $\lambda = 0,1 /$ .

мально неустойчивые образования могут приводить к поведению системы, аналогичному случаю  $d = 1$ , если время их жизни достаточно велико /2/. С другой стороны, как показывает численное моделирование /11/, в системах с  $d = 2, 3$  образуются устойчивые нелинейные возбуждения, соответствующие связанным состояниям. Формализм рассмотрения фоновых возбуждений, развитый в данной работе, не ограничен одномерными системами и, в принципе, позволяет описывать поведение мягкой моды, если известны среднеквадратичные квазиравновесные положения  $\langle s_1^2 \rangle$  в /5/ /см., например, /6/. На современном уровне теории эта задача может быть решена только при комбинировании предложенного метода описания фононов и численного описания нелинейных возбуждений.

Авторы выражают благодарность В.Г.Маханькову и Н.М.Плакиде за полезные обсуждения.

#### ЛИТЕРАТУРА

1. Гинзбург В.Л., Леванюк А.П., Собянин А.А. Phys.Rep.1980, 57, №3, p. 151-240; УФН, 1980, 130, №4, с. 615-673.
2. Bruce A.D., Cowley R.A. Adv. Phys., 1980, 29, No. 1, p. 219-321.
3. Schneider T., Stoll E. Phys.Rev.B, 1976, 13, No. 3, p. 1216-1237.
4. Krumhansl J.A., Schrieffer J.R. Phys.Rev. B, 1975, 11, No. 9, p. 3535-3545.
5. Currie J.F. et al. Phys.Rev.B, 1980, 22, No.2, p.477-496.
6. Аксенов В.Л. и др. ФТТ, 1976, 18, №10, с. 2920-2926.
7. Аксенов В.Л., Плакида Н.М. ТМФ, 1978, 34, №3, с. 353-363; 1978, 35, №1, с. 104-112.
8. Bishop A.R., Doman E., Krumhansl J.A. Phys.Rev.B, 1976, v. 14, No.7, p. 2966-2971.
9. Аксенов В.Л. и др. ОИЯИ, P17-80-576, Дубна, 1980, с. 9; Fizika, 1980, 12, Suppl., No.1, p. 332-338.
10. Федянин В.К., Юшанхай В.Ю. ФНТ, 1981, 7, №2, с. 176-180.
11. Makhankov V. Comp.Phys.Comm., 1980, 21, p. 1-49.
12. Theodorakopoulos N. Z.Phys.B, 1979, 33, No. 4, p. 385-390.
13. Schneider T., Stoll E. Phys. Rev. Lett., 1975, 35, No. 5, p. 296-299.
14. Bishop A.R., Krumhansl I.A. Phys.Rev.B, 1975, 12, No. 7, p. 2824-2831.

Рукопись поступила в издательский отдел  
2 июля 1981 года.